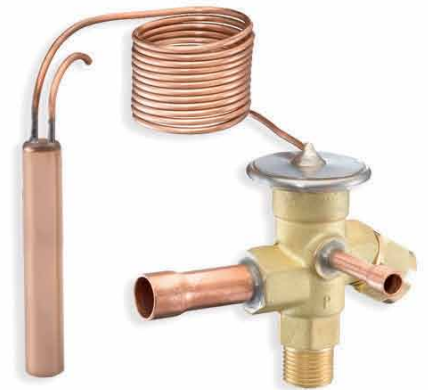




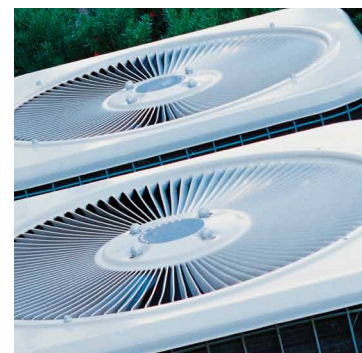
aerospace  
climate control  
electromechanical  
filtration  
fluid & gas handling  
hydraulics  
pneumatics  
process control  
sealing & shielding



# Détendeur thermostatique J8

## Produits et solutions personnalisés

CATALOGUE RACE 10-10-7 J8-2/FR, MARS 2012



ENGINEERING YOUR SUCCESS.

# Détendeur thermostatique J8

## Introduction

Les détendeurs thermostatiques J8 permettent de réguler le débit de réfrigérant au sein des évaporateurs après détection d'une surchauffe. Ils peuvent être utilisés dans une vaste gamme d'applications de réfrigération et air conditionné.

## Caractéristiques

- Surchauffe ajustable
- 8 cartouches d'orifices remplaçables
- Plage de température entre -40 °C et +15 °C
- Charges thermostatiques avec ou sans MOP (pression maximale de fonctionnement)
- Raccords ODF à braser (avec raccord d'entrée) ou SAE à visser
- Élément thermostatique en acier inoxydable
- Bulbe de détection en cuivre
- Conformité CE (conformité à PED, RoHS & REACH)

## Caractéristiques techniques

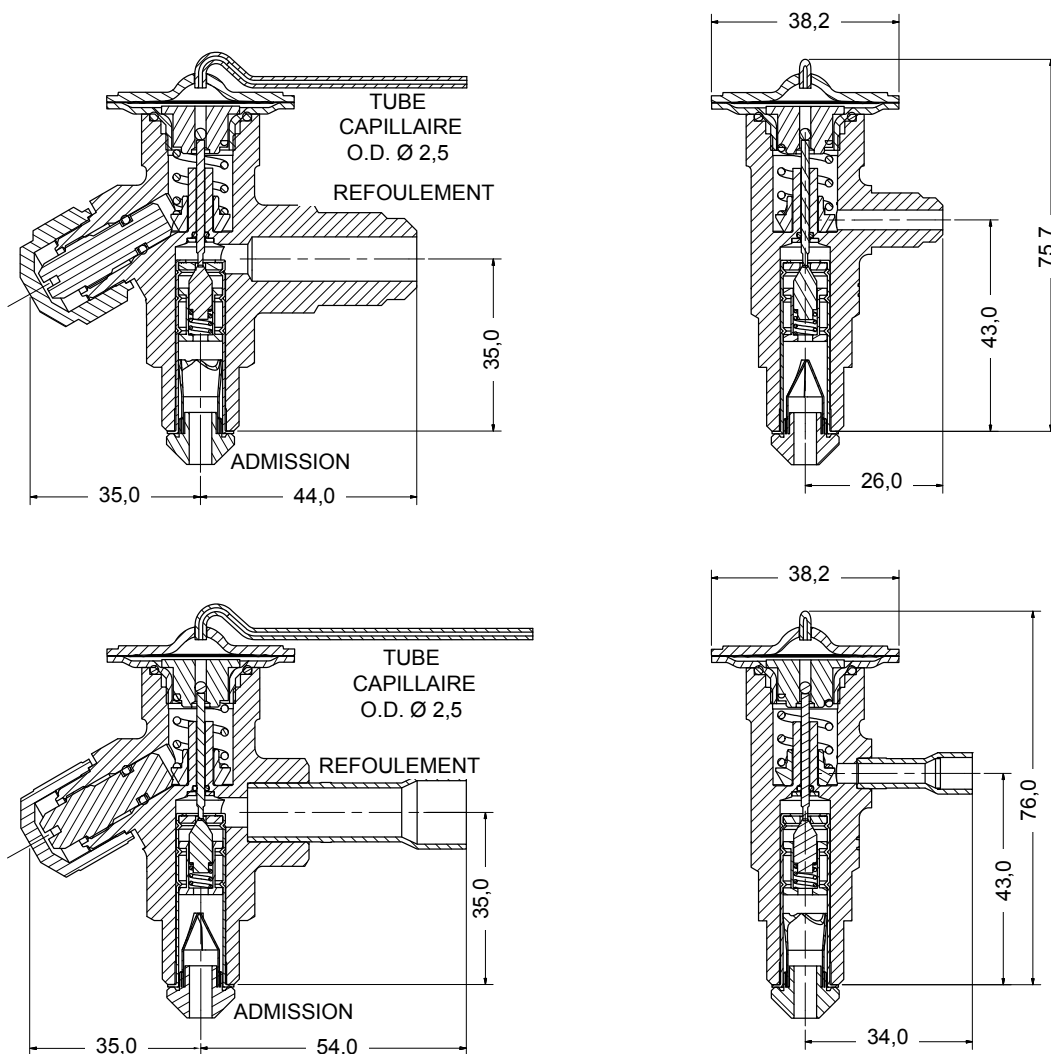
- Température maximale du bulbe : 100 °C
- Température maximale du corps du détendeur : 121 °C
- Pics de courte durée : 149 °C
- Pression maximale de fonctionnement : 34 barg
- Pression maximale de test : 38 barg

## Les détendeurs J8 sont composés de 3 éléments qui doivent être commandés séparément :

- Corps du détendeur et élément thermostatique
- Cartouche et filtre
- Adaptateur d'entrée ODF (facultatif)

Veuillez consulter les sections suivantes pour savoir comment les choisir et les commander.

# Ensemble J8



Toutes les dimensions sont indiquées en millimètres (mm).

## Nomenclature des détendeurs/instructions pour commander

Exemple

J8	E	F	-	N	W
<b>Type de détendeur</b>	<p>« E » désigne l'égalisation externe. L'absence de la lettre</p> <p>« E » indique qu'il s'agit d'un détendeur avec égalisation interne. par ex. J8F-NW</p>	<p><b>Type de connexion :</b> (L'entrée est toujours indiquée sous la forme Évasement 3/8", SAE)</p> <p><b>F = Flare</b> (évasement), SAE</p> <p><b>M = Métrique</b>, ODF</p> <p><b>S = Standard</b>, ODF (Unités américaines courantes)</p>		<p><b>Code Sporlan -</b> Élément réfrigérant - Code couleur de l'étiquette :</p> <p><b>J =</b> R134a Bleu R401A Rose</p> <p><b>S =</b> R404A Orange R402A Sable R402B Olive R502 Violet R507 Sarcelle</p> <p><b>N =</b> R407C Brun clair</p>	<b>Charge thermostatique</b>

# Corps du détendeur et élément thermostatique

Réfrigérant	Raccords			Pression maximale de fonctionnement (MOP) en bar / °C	Type de détendeur	Référence	Longueur du tube capillaire en mm	Plage de température de l'évaporateur en °C	
	Entrée	Refoulement	Égaliseur						
R407C	3/8" SAE	12 mm ODF	1/2" SAE	1/4" SAE	-	J8EF-NW	600002-000	1 500	-40 °C à +15 °C
				6,9 bar / +17 °C	J8EF-NX100	600003-000			
				Égalisation interne	-	J8F-NW	600023-000		
				6,9 bar / +17 °C	J8F-NX100	600024-000			
				6 mm ODF	-	J8EM-NW	600009-000		
				6,9 bar / +17 °C	J8EM-NX100	600010-000			
			1/2" ODF	Égalisation interne	-	J8M-NW	600030-000		
				6,9 bar / +17 °C	J8M-NX100	600031-000			
				1/4" ODF	-	J8ES-NW	600016-000		
				6,9 bar / +17 °C	J8ES-NX100	600017-000			
				Égalisation interne	-	J8S-NW	600037-000		
				6,9 bar / +17 °C	J8S-NX100	600038-000			
R134a R401A	3/8" SAE	12 mm ODF	1/2" SAE	1/4" SAE	-	J8EF-JW	600000-000	1 500	-40 °C à +15 °C
				4,1 bar / +17 °C	J8EF-JX60	600001-000			
				Égalisation interne	-	J8F-JW	600021-000		
				4,1 bar / +17 °C	J8F-JX60	600022-000			
				6 mm ODF	-	J8EM-JW	600007-000		
				4,1 bar / +17 °C	J8EM-JX60	600008-000			
			1/2" ODF	Égalisation interne	-	J8M-JW	600028-000		
				4,1 bar / +17 °C	J8M-JX60	600029-000			
				1/4" ODF	-	J8ES-JW	600014-000		
				4,1 bar / +17 °C	J8ES-JX60	600015-000			
				Égalisation interne	-	J8S-JW	600035-000		
				4,1 bar / +17 °C	J8S-JX60	600036-000			
R404A R402A R402B R502 R507	3/8" SAE	12 mm ODF	1/2" SAE	1/4" SAE	-	J8EF-SW	600004-000	1 500	-40 °C à +10 °C
				7,6 bar / +12 °C	J8EF-SX110	600005-000	-40 °C à +10 °C		
				2,4 bar / -17 °C	J8EF-SX35	600006-000	-40 °C à -18 °C		
				Égalisation interne	-	J8F-SW	600025-000		-40 °C à +10 °C
				7,6 bar / +12 °C	J8F-SX110	600026-000	-40 °C à +10 °C		
				2,4 bar / -17 °C	J8F-SX35	600027-000	-40 °C à -18 °C		
				6 mm ODF	-	J8EM-SW	600011-000		-40 °C à +10 °C
				7,6 bar / +12 °C	J8EM-SX110	600012-000	-40 °C à +10 °C		
				2,4 bar / -17 °C	J8EM-SX35	600013-000	-40 °C à -18 °C		
				Égalisation interne	-	J8M-SW	600032-000		-40 °C à +10 °C
				7,6 bar / +12 °C	J8M-SX110	600033-000	-40 °C à +10 °C		
				2,4 bar / -17 °C	J8M-SX35	600034-000	-40 °C à -18 °C		
				1/4" ODF	-	J8ES-SW	600018-000		-40 °C à +10 °C
				7,6 bar / +12 °C	J8ES-SX110	600019-000	-40 °C à +10 °C		
				2,4 bar / -17 °C	J8ES-SX35	600020-000	-40 °C à -18 °C		
				Égalisation interne	-	J8S-SW	600039-000		-40 °C à +10 °C
				7,6 bar / +12 °C	J8S-SX110	600040-000	-40 °C à +10 °C		
				2,4 bar / -17 °C	J8S-SX35	600041-000	-40 °C à -18 °C		

# Cartouche et filtre J8

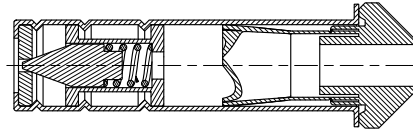
## Cartouche et filtre

Puissance nominale, kW<sup>1</sup>

Numéro de l'élément	Type de cartouche	Puissance nominale, kW <sup>1</sup>		
		R407C	R134a	R404A
506032-000	C-0X	0,55	0,44	0,42
506033-000	C-00	1,2	1,0	0,77
506034-000	C-01	2,4	1,6	1,4
506035-000	C-02	3,8	2,6	2,1
506036-000	C-03	5,2	4,3	3,9
506037-000	C-04	9,0	7,0	6,3
506038-000	C-05	11,3	8,6	7,7
506039-000	C-06	15,0	9,5	8,2

<sup>1</sup> La puissance nominale est basée sur les conditions suivantes :  
 Température d'évaporation, Te = +5 °C  
 Température de condensation, Tc = +32 °C  
 Température du réfrigérant en amont du détendeur, T<sub>1</sub> = +28 °C

- L'orifice (cartouche) est estampillé avec la taille de l'orifice, exemple : C-0X



- Une étiquette métallique est fournie avec chaque cartouche et devrait être fixée sur le tube pour capuchon au moment de l'installation de l'orifice dans le corps du détendeur.



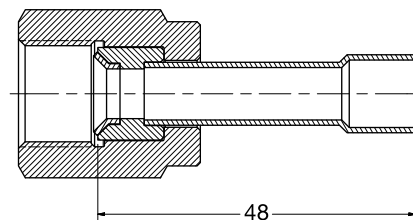
## Adaptateur d'entrée ODF

Tous les détendeurs thermostatiques J8 sont équipés de raccords d'entrée 3/8" SAE. Les adaptateurs d'entrée à braser sont disponibles auprès des distributeurs Parker/Sporlan.

Les adaptateurs d'entrée à braser permettent d'installer des détendeurs J8 et facilitent l'accès à l'ensemble orifice et filtre (cartouche).

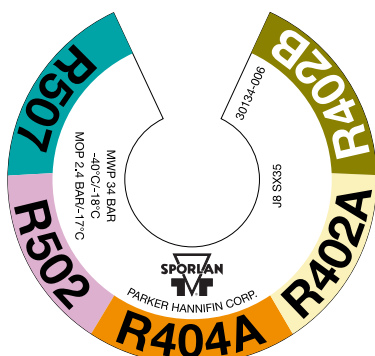
Les adaptateurs d'entrée à braser Parker/Sporlan ont été conçus pour être utilisés avec des filtres d'orifices de type conique.

Élément	Description
A-6M	Adaptateur d'entrée à braser 3/8" SAE à 6 mm ODF
A-10M	Adaptateur d'entrée à braser 3/8" SAE à 10 mm ODF
A-2	Adaptateur d'entrée à braser 3/8" SAE à 1/4" ODF
A-3	Adaptateur d'entrée à braser 3/8" SAE à 3/8" ODF



Toutes les dimensions sont indiquées en millimètres (mm).

## Identification



Les principales informations au sujet du détendeur sont fournies sur l'étiquette de l'élément :

- Élément J8 SX35
- Réfrigérant
- Pression maximale de fonctionnement (MWP) = 34 bar
- Plage de températures d'évaporation en °C = -40 °C/-18 °C
- Point MOP (Pression maximale de fonctionnement) en bar et °C = 2,4 bar/-17 °C

# Tableaux de sélection

## R407C (kW)

Numéro de l'orifice	Perte de charge à travers le détendeur (bar)							
	2	4	6	8	10	12	14	16
Température d'évaporation : +10 °C								
C-0X	0,44	0,55	0,62	0,67	0,69	0,70	0,69	0,70
C-00	1,0	1,2	1,3	1,4	1,5	1,5	1,5	1,5
C-01	2,1	2,6	3,0	3,1	3,2	3,2	3,3	3,2
C-02	3,1	4,1	4,8	5,2	5,4	5,5	5,6	5,6
C-03	5,2	6,9	8,0	8,6	9,1	9,2	9,3	9,3
C-04	8,8	11,6	13,4	14,6	15,2	15,4	15,6	15,6
C-05	10,6	14,0	16,0	17,4	18,3	18,5	18,7	18,7
C-06	11,8	15,5	17,7	19,1	20,1	20,3	20,5	20,5

Numéro de l'orifice	Perte de charge à travers le détendeur (bar)							
	2	4	6	8	10	12	14	16
Température d'évaporation : 0 °C								
C-0X	0,44	0,55	0,62	0,66	0,69	0,70	0,70	0,69
C-00	0,96	1,1	1,3	1,4	1,4	1,5	1,5	1,4
C-01	1,8	2,3	2,5	2,7	2,8	2,8	2,9	2,9
C-02	2,7	3,5	4,1	4,3	4,6	4,7	4,8	4,8
C-03	4,5	5,9	6,7	7,4	7,7	7,8	7,9	7,9
C-04	7,5	9,9	11,2	12,2	12,8	13,0	13,2	13,3
C-05	9,2	11,9	13,6	14,7	15,5	15,8	15,9	15,9
C-06	10,1	13,1	14,9	16,2	17,0	17,3	17,5	17,5

Numéro de l'orifice	Perte de charge à travers le détendeur (bar)							
	2	4	6	8	10	12	14	16
Température d'évaporation : -10 °C								
C-0X	0,42	0,53	0,59	0,63	0,66	0,68	0,68	0,67
C-00	0,90	1,1	1,2	1,3	1,3	1,4	1,4	1,3
C-01	1,5	1,8	2,1	2,3	2,3	2,3	2,4	2,4
C-02	2,3	3,0	3,3	3,6	3,8	3,9	4,0	3,9
C-03	3,8	4,9	5,6	6,0	6,4	6,6	6,7	6,5
C-04	6,3	8,2	9,2	10,0	10,6	10,8	11,0	10,9
C-05	7,7	9,8	11,1	12,0	12,8	13,0	13,2	13,1
C-06	8,6	10,8	12,2	13,2	14,0	14,3	14,5	14,4

Numéro de l'orifice	Perte de charge à travers le détendeur (bar)							
	2	4	6	8	10	12	14	16
Température d'évaporation : -20 °C								
C-0X	-	0,50	0,56	0,59	0,62	0,63	0,65	0,63
C-00	-	1,0	1,1	1,2	1,2	1,3	1,3	1,2
C-01	-	1,5	1,7	1,8	2,0	2,0	2,0	2,0
C-02	-	2,4	2,7	2,9	3,1	3,1	3,2	3,1
C-03	-	4,0	4,5	4,9	5,1	5,2	5,3	5,2
C-04	-	6,6	7,5	8,1	8,5	8,6	8,8	8,7
C-05	-	8,1	9,1	9,8	10,2	10,5	10,6	10,5
C-06	-	8,8	10,0	10,7	11,3	11,4	11,7	11,6

Numéro de l'orifice	Perte de charge à travers le détendeur (bar)							
	2	4	6	8	10	12	14	16
Température d'évaporation : -30 °C								
C-0X	-	0,45	0,50	0,54	0,56	0,58	0,58	0,58
C-00	-	0,89	1,0	1,1	1,1	1,2	1,1	1,1
C-01	-	1,3	1,4	1,5	1,6	1,5	1,6	1,6
C-02	-	1,9	2,2	2,7	2,5	2,5	2,5	2,5
C-03	-	3,3	3,7	3,9	4,0	4,1	4,2	4,2
C-04	-	5,3	6,1	6,4	6,7	6,8	7,0	6,9
C-05	-	6,5	7,3	7,7	8,1	8,3	8,4	8,4
C-06	-	7,2	8,0	8,6	8,9	9,1	9,3	9,2

Numéro de l'orifice	Perte de charge à travers le détendeur (bar)							
	2	4	6	8	10	12	14	16
Température d'évaporation : -40 °C								
C-0X	-	-	0,46	0,48	0,51	0,53	0,53	0,54
C-00	-	-	0,88	0,92	1,0	1,0	1,0	1,0
C-01	-	-	1,2	1,3	1,2	1,3	1,3	1,4
C-02	-	-	1,7	1,9	1,9	1,9	2,0	1,9
C-03	-	-	2,9	3,1	3,2	3,3	3,3	3,3
C-04	-	-	4,8	5,0	5,2	5,3	5,4	5,4
C-05	-	-	5,8	6,2	6,3	6,6	6,6	6,6
C-06	-	-	6,4	6,8	7,0	7,2	7,3	7,3

### Facteur de correction, (FC) de la température du liquide

Puissance corrigée du détendeur = puissance nominale de l'évaporateur / facteur de correction (FC), pour sous-refroidissement.

Sous-refroidissement	4°C	10°C	15°C	20°C	25°C	30°C	35°C	40°C	45°C	50°C
Facteur de correction	1,00	1,08	1,14	1,21	1,27	1,33	1,39	1,45	1,51	1,57

# Tableaux de sélection

## R134a/R401A (kW)

Numéro de l'orifice	Perte de charge à travers le détendeur (bar)				
	2	4	6	8	10
Température d'évaporation : +10 °C					
C-0X	0,37	0,47	0,52	0,55	0,56
C-00	0,78	0,95	1,0	1,1	1,1
C-01	1,4	1,7	1,9	2,0	2,0
C-02	2,0	2,6	3,0	3,1	3,2
C-03	3,4	4,4	5,0	5,2	5,4
C-04	5,7	7,3	8,2	8,7	9,0
C-05	6,9	8,9	9,9	10,8	10,9
C-06	7,6	9,7	10,9	11,5	11,9

Numéro de l'orifice	Perte de charge à travers le détendeur (bar)				
	2	4	6	8	10
Température d'évaporation : 0 °C					
C-0X	0,36	0,46	0,51	0,52	0,54
C-00	0,72	0,86	0,95	1,0	1,0
C-01	1,2	1,4	1,5	1,6	1,6
C-02	1,7	2,2	2,4	2,6	2,6
C-03	2,8	3,7	4,1	4,3	4,4
C-04	4,7	6,0	6,7	7,1	7,3
C-05	5,7	7,3	8,1	8,6	8,8
C-06	6,3	8,0	9,0	9,5	9,7

Numéro de l'orifice	Perte de charge à travers le détendeur (bar)				
	2	4	6	8	10
Température d'évaporation : -10 °C					
C-0X	0,33	0,42	0,47	0,48	0,48
C-00	0,65	0,77	0,85	0,89	0,90
C-01	0,90	1,2	1,3	1,4	1,4
C-02	1,4	1,8	2,0	2,1	2,1
C-03	2,3	2,9	3,3	3,5	3,6
C-04	3,8	4,8	5,3	5,7	5,9
C-05	4,6	5,8	6,5	6,9	7,1
C-06	5,1	6,4	7,2	7,6	7,7

Numéro de l'orifice	Perte de charge à travers le détendeur (bar)				
	2	4	6	8	10
Température d'évaporation : -20 °C					
C-0X	0,31	0,39	0,43	0,45	0,46
C-00	0,58	0,68	0,76	0,79	0,80
C-01	0,73	0,90	1,0	1,1	1,1
C-02	1,1	1,4	1,5	1,6	1,7
C-03	1,9	2,3	2,6	2,7	2,8
C-04	3,0	3,8	4,2	4,5	4,6
C-05	3,7	4,6	5,1	5,4	5,5
C-06	4,1	5,0	5,6	5,9	6,1

Numéro de l'orifice	Perte de charge à travers le détendeur (bar)				
	2	4	6	8	10
Température d'évaporation : -30 °C					
C-0X	0,28	0,35	0,39	0,41	0,42
C-00	0,53	0,61	0,67	0,70	0,70
C-01	0,59	0,72	0,79	0,84	0,86
C-02	0,90	1,1	1,2	1,3	1,3
C-03	1,5	1,9	2,1	2,2	2,2
C-04	2,4	3,0	3,4	3,5	3,6
C-05	3,0	3,6	4,0	4,2	4,3
C-06	3,2	4,0	4,4	4,7	4,8

Numéro de l'orifice	Perte de charge à travers le détendeur (bar)				
	2	4	6	8	10
Température d'évaporation : -40 °C					
C-0X	0,25	0,31	0,35	0,36	0,37
C-00	0,48	0,55	0,59	0,62	0,63
C-01	0,49	0,59	0,65	0,68	0,69
C-02	0,74	0,89	1,0	1,0	1,0
C-03	1,2	1,5	1,7	1,8	1,8
C-04	2,0	2,4	2,7	2,8	2,8
C-05	2,4	2,9	3,2	3,5	3,5
C-06	2,7	3,2	3,6	3,8	3,9

### Facteur de correction, (FC) de la température du liquide

Puissance corrigée du détendeur = puissance nominale de l'évaporateur / facteur de correction (FC), pour sous-refroidissement.

Sous-refroidissement	4°C	10°C	15°C	20°C	25°C	30°C	35°C	40°C	45°C	50°C
Facteur de correction	1,00	1,08	1,13	1,19	1,25	1,31	1,37	1,42	1,48	1,54

# Tableaux de sélection

## R404A/R507 (kW)

Numéro de l'orifice	Perte de charge à travers le détendeur (bar)							
	2	4	6	8	10	12	14	16
Température d'évaporation : +10 °C								
C-0X	0,31	0,39	0,44	0,46	0,47	0,47	0,46	0,45
C-00	0,74	0,90	1,0	1,0	1,1	1,1	1,0	1,0
C-01	1,5	1,9	2,1	2,2	2,3	2,3	2,2	2,1
C-02	2,3	3,0	3,4	3,6	3,7	3,7	3,7	3,6
C-03	3,9	5,1	5,6	6,0	6,2	6,3	6,2	6,0
C-04	6,5	8,5	9,5	10,2	10,5	10,5	10,3	10,1
C-05	7,9	10,2	11,4	12,2	12,5	12,6	12,3	12,0
C-06	8,7	11,3	12,6	13,4	13,8	13,8	13,6	13,2

Numéro de l'orifice	Perte de charge à travers le détendeur (bar)							
	2	4	6	8	10	12	14	16
Température d'évaporation : 0 °C								
C-0X	0,33	0,41	0,45	0,46	0,47	0,47	0,47	0,45
C-00	0,75	0,88	1,0	1,0	1,0	1,0	1,0	1,0
C-01	1,4	1,7	1,8	1,9	2,0	2,0	2,0	1,9
C-02	2,1	2,6	3,0	3,1	3,2	3,3	3,2	3,1
C-03	3,5	4,4	5,0	5,2	5,4	5,4	5,3	5,2
C-04	5,8	7,4	8,3	8,7	9,0	9,0	8,9	8,7
C-05	7,0	8,9	10,0	10,5	10,8	10,9	10,8	10,4
C-06	7,7	9,8	11,0	11,6	11,9	12,0	11,8	11,4

Numéro de l'orifice	Perte de charge à travers le détendeur (bar)							
	2	4	6	8	10	12	14	16
Température d'évaporation : -10 °C								
C-0X	0,33	0,41	0,44	0,46	0,46	0,46	0,45	0,45
C-00	0,72	0,84	0,90	0,92	1,0	1,0	0,94	0,91
C-01	1,2	1,4	1,5	1,6	1,6	1,7	1,6	1,6
C-02	1,8	2,2	2,5	2,6	2,7	2,7	2,7	2,6
C-03	2,9	3,7	4,2	4,4	4,5	4,5	4,5	4,4
C-04	4,9	6,3	6,9	7,3	7,4	7,5	7,4	7,2
C-05	5,9	7,6	8,4	8,8	9,0	9,1	9,0	8,7
C-06	6,6	8,4	9,3	9,7	9,9	10,0	9,9	9,6

Numéro de l'orifice	Perte de charge à travers le détendeur (bar)							
	2	4	6	8	10	12	14	16
Température d'évaporation : -20 °C								
C-0X	-	0,39	0,42	0,44	0,43	0,44	0,43	0,42
C-00	-	0,77	0,83	0,85	0,87	0,87	0,87	0,84
C-01	-	1,2	1,4	1,4	1,4	1,4	1,4	1,4
C-02	-	1,9	2,0	2,1	2,2	2,2	2,2	2,1
C-03	-	3,1	3,5	3,6	3,7	3,7	3,7	3,6
C-04	-	5,1	5,7	5,9	6,1	6,1	6,0	5,9
C-05	-	6,2	6,9	7,2	7,3	7,3	7,2	7,1
C-06	-	6,8	7,6	7,9	8,0	8,0	7,9	7,7

Numéro de l'orifice	Perte de charge à travers le détendeur (bar)							
	2	4	6	8	10	12	14	16
Température d'évaporation : -30 °C								
C-0X	-	-	0,39	0,41	0,40	0,41	0,40	0,39
C-00	-	-	0,74	0,77	0,77	0,77	0,76	0,74
C-01	-	-	1,1	1,1	1,1	1,1	1,1	1,1
C-02	-	-	1,6	1,7	1,7	1,7	1,7	1,6
C-03	-	-	2,7	2,8	2,9	2,9	2,8	2,7
C-04	-	-	4,5	4,7	4,7	4,7	4,7	4,6
C-05	-	-	5,5	5,7	5,7	5,7	5,7	5,5
C-06	-	-	6,0	6,2	6,3	6,3	6,2	6,1

Numéro de l'orifice	Perte de charge à travers le détendeur (bar)							
	2	4	6	8	10	12	14	16
Température d'évaporation : -40 °C								
C-0X	-	-	0,35	0,36	0,36	0,36	0,35	0,35
C-00	-	-	0,66	0,67	0,68	0,67	0,66	0,65
C-01	-	-	0,83	0,86	0,87	0,86	0,85	0,82
C-02	-	-	1,3	1,3	1,3	1,3	1,3	1,2
C-03	-	-	2,2	2,2	2,2	2,2	2,2	2,1
C-04	-	-	3,5	3,7	3,7	3,7	3,6	3,5
C-05	-	-	4,3	4,4	4,5	4,4	4,4	4,2
C-06	-	-	4,7	4,9	5,0	4,9	4,8	4,7

### Facteur de correction, (FC) de la température du liquide

Puissance corrigée du détendeur = puissance nominale de l'évaporateur / facteur de correction (FC), pour sous-refroidissement.

Sous-refroidissement	4°C	10°C	15°C	20°C	25°C	30°C	35°C	40°C	45°C	50°C
Facteur de correction	1,00	1,10	1,20	1,29	1,37	1,46	1,54	1,63	1,70	1,78







# Technologies de mouvement et de contrôle de Parker

Chez Parker, nous sommes guidés par la volonté sans faille d'aider nos clients à accroître leur productivité et leur rentabilité en élaborant les systèmes les plus adaptés à leurs besoins. Cela signifie examiner ces besoins sous différents angles afin de trouver de nouveaux moyens de créer de la valeur ajoutée. Quels que soient leurs besoins en technologie de mouvement et de contrôle, Parker dispose d'une expérience éprouvée, d'une vaste gamme de produits et de solutions de livraison permanente dans le monde entier. Parker est la seule entreprise à maîtriser parfaitement les technologies de mouvement et de contrôle. Pour plus d'informations, appelez le 00800 27 27 5374.



## Aérospatiale

### Principaux marchés

Services après-vente  
Transports commerciaux  
Moteurs  
Aviation générale et commerciale  
Hélicoptères  
Véhicules de lancement  
Avions militaires  
Missiles  
Production d'énergie  
Transports régionaux  
Véhicules aériens sans pilote

### Principaux produits

Systèmes de commande et produits d'actionnement  
Systèmes et composants moteurs  
Systèmes et composants de transport de fluides  
Dispositifs de mesure, d'acheminement et de pulvérisation de fluides  
Systèmes et composants combustibles  
Systèmes d'inertage de réservoir de carburant  
Systèmes et composants hydrauliques  
Gestion thermique  
Roues et freins



## Contrôle climatique

### Principaux marchés

Agriculture  
Climatisation  
Machines de construction  
Agroalimentaire  
Machines industrielles  
Sciences de la vie  
Pétrole et gaz  
Climatisation de précision  
Processus  
Réfrigération  
Transport

### Principaux produits

Accumulateurs  
Actionneurs avancés  
Systèmes de contrôle du CO2  
Contrôleurs électroniques  
Déshydrateurs-filtres  
Vannes manuelles de mise hors service  
Échangeurs thermiques  
Flexibles et raccords  
Vannes de régulation de pression  
Distributeurs de réfrigérants  
Soupapes de sécurité  
Pompes intelligentes  
Électrovannes  
Détendeurs thermostatiques



## Électromécanique

### Principaux marchés

Aérospatiale  
Automatisation des usines  
Médecine et sciences de la vie  
Machines-outils  
Machines de conditionnement  
Machines de fabrication du papier  
Machines de fabrication et de transformation du plastique  
Métaux de première fusion  
Semi-conducteurs et électronique  
Textile  
Fils et câbles

### Principaux produits

Systèmes et transmissions CAVOC  
Actionneurs électriques, robots portiques et coulisses  
Systèmes d'actionnement électrohydraulique  
Systèmes d'actionnement électromécanique  
Interface homme-machine  
Moteurs linéaires  
Moteurs pas à pas, servomoteurs, transmissions et commandes  
Extrusions structurelles



## Filtration

### Principaux marchés

Aérospatiale  
Agroalimentaire  
Installations et équipements industriels  
Sciences de la vie  
Application maritime  
Équipement mobile  
Pétrole et gaz  
Production d'énergie et énergie renouvelable  
Processus  
Transport  
Épuration des eaux

### Principaux produits

Générateurs de gaz analytique  
Filtres à air comprimé et déshydrateurs  
Systèmes de filtration d'air de moteur, de liquide de refroidissement, de carburant et d'huile  
Systèmes de surveillance de l'état des fluides  
Filtres hydrauliques et de lubrification  
Générateurs d'hydrogène, d'azote et d'air saturé  
Filtres d'instrumentation  
Filtres à membrane et à fibre  
Microfiltration  
Filtration d'air stérile  
Système et filtres de dessalement et d'épuration des eaux



## Gestion des fluides et gaz

### Principaux marchés

Nacelle élévatrice  
Agriculture  
Gestion de produits chimiques en vrac  
Machines de construction  
Agroalimentaire  
Acheminement du gaz et du carburant  
Machines industrielles  
Sciences de la vie  
Application maritime  
Exploitation minière  
Systèmes mobiles  
Pétrole et gaz  
Énergie renouvelable  
Transport

### Principaux produits

Clapets anti-retour  
Connecteurs pour transport de fluides basse pression  
Câbles ombilicaux en eaux profondes  
Équipements de diagnostic  
Raccords flexibles  
Flexibles industriels  
Systèmes d'amarrage et câbles d'alimentation  
Tubes et flexibles en PTFE  
Raccords rapides  
Flexibles thermoplastiques et caoutchouc  
Raccords et adaptateurs pour tubes  
Tubes et raccords en plastique



## Systèmes hydrauliques

### Principaux marchés

Nacelle élévatrice  
Agriculture  
Énergie alternative  
Machines de construction  
Exploitation forestière  
Machines industrielles  
Machines-outils  
Application maritime  
Manutention  
Exploitation minière  
Pétrole et gaz  
Production d'énergie  
Camions à ordures  
Énergie renouvelable  
Systèmes hydrauliques pour camions  
Matériel pour gazon

### Principaux produits

Accumulateurs  
Soupapes à cartouche  
Actionneurs électrohydrauliques  
Interfaces homme-machine  
Entraînements hybrides  
Vérins hydrauliques  
Moteurs et pompes hydrauliques  
Systèmes hydrauliques  
Vannes et commandes hydrauliques  
Direction hydrostatique  
Circuits hydrauliques intégrés  
Prises de force  
Unités d'alimentation  
Actionneurs rotatifs  
Capteurs



## Pneumatique

### Principaux marchés

Aérospatiale  
Transport et manutention  
Automatisation des usines  
Médecine et sciences de la vie  
Machines-outils  
Machines de conditionnement  
Transport et automobile

### Principaux produits

Traitement de l'air  
Raccords et vannes en laiton  
Collecteurs  
Accessoires pneumatiques  
Actionneurs et pinces pneumatiques  
Vannes et commandes pneumatiques  
Coupleurs à déconnexion rapide  
Actionneurs rotatifs  
Flexibles et accouplements thermoplastiques et caoutchouc  
Extrusions structurelles  
Tubes et raccords thermoplastiques  
Générateurs de vide, coupelles à dépression et vacuostats



## Commande de processus

### Principaux marchés

Carburants de substitution  
Produits biopharmaceutiques  
Produits chimiques et raffinage  
Agroalimentaire  
Secteur maritime et construction navale  
Secteur médical et dentaire  
Microélectronique  
Énergie nucléaire  
Exploration pétrolière offshore  
Pétrole et gaz  
Produits pharmaceutiques  
Production d'énergie  
Pâte et papier  
Acier  
Eau / eaux usées

### Principaux produits

Instruments d'analyse  
Produits et systèmes de conditionnement d'échantillons d'analyse  
Raccords et soupapes pour injection de produits chimiques  
Raccords, vannes et pompes de distribution de produits chimiques en fluoropolymère  
Raccords, soupapes, régulateurs et régulateurs de débit numériques pour l'acheminement de gaz haute pureté  
Débitmètres / régulateurs de débit massiques industriels  
Raccords pour tube permanents sans soudeur  
Régulateurs et régulateurs de débit industriels de précision  
Double isolement et purge pour commande de processus  
Raccords, soupapes, régulateurs et collecteurs pour commande de processus



## Étanchéité et protection

### Principaux marchés

Aérospatiale  
Traitement chimique  
Matériel grand public  
Transmission d'énergie par fluide  
Systèmes industriels standard  
Technologies de l'information  
Sciences de la vie  
Microélectronique  
Systèmes militaires  
Pétrole et gaz  
Production d'énergie  
Énergie renouvelable  
Télécommunications  
Transport

### Principaux produits

Joint dynamiques  
Joints toriques élastomériques  
Conception et assemblage d'appareils électromécaniques  
Blindage EMI  
Joints élastomériques extrudés et avec coupe de précision  
Joints métalliques haute température  
Formes élastomériques homogènes et rapportées  
Fabrication et assemblage de matériel médical  
Joints composites métal et plastique  
Fenêtres optiques blindées  
Tubes et extrusions en silicone  
Gestion thermique  
Amortissement des vibrations

ENGINEERING YOUR SUCCESS.

# Parker dans le monde

## Émirats Arabes Unis Moyen-Orient

**Sarkis Ohannessian**  
Tél. : (961) 3334622  
sohannessian@parker.com

## Allemagne, Europe centrale Région germanophone de la Suisse

**Peter Grolla**  
Tél. : +49 (0)171 76 28 417  
peter.grolla@parker.com

## Espagne Portugal

**José-Luis BoRrallo**  
Tél. : +34 660 416 702  
jlborrallo@parker.com

## France, Belgique, Afrique du Nord Région francophone de la Suisse

**Eliane Emerit-Bonnot**  
Tél. : +33 (0)6 73 89 36 01  
ebonnot@parker.com

## Italie, Grèce, Malte, Chypre Région italophone de la Suisse

**Andrea Braga**  
Tél. : +39 334 6944386  
abraga@parker.com

## Turquie

**Gokhan Genceroğlu**  
Tél. : +90 530 463 95 35  
gokhan.genceroğlu@parker.com

## Royaume-Uni, Irlande, Europe du Nord, Pays baltes, Pays-Bas

**Angus Mackintosh**  
Tél. : +44 78816 22322  
amackintosh@parker.com

## Russie, Europe de l'Est

**Kenny Adamson**  
Tél. : +44 77853 71229  
kadamson@parker.com

## Afrique du Sud

**Alan Quinn**  
Tél. : +44 79742 37447  
aquinn@parker.com

## Service client : Parker Hannifin Ltd

Climate and Industrial Controls Group  
Refrigeration and Air Conditioning Europe  
Cortonwood Drive, Brampton  
Barnsley S73 OUF - Royaume-Uni  
Tél. : +44 (0) 1226 273400  
Fax : +44 (0) 1226 273401  
racecustomerservice@parker.com  
www.parker.com/race

